

·实验研究 Experimental research·

基质细胞衍生因子-1 介入治疗股骨头坏死的 实验研究

孟 峰, 曹海利, 白 彬, 郑尚飞, 徐 伟

【摘要】 目的 探讨基质细胞衍生因子-1(SDF-1)治疗股骨头坏死的机制和疗效。方法 选用日本大耳白兔 30 只,制成激素性股骨头坏死模型后,随机分为 3 组。A 组为对照组;B 组为髓芯减压+生理盐水治疗组;C 组为髓芯减压+SDF-1 治疗组。各组动物均于治疗后 8 周处死,处死后分别进行股骨头骨密度测定及组织病理观察。结果 SDF-1 治疗后 8 周,骨密度明显增高,病理组织学表现血管数目增多,空骨陷窝减少。SDF-1 治疗后显示股骨头修复效果明显。结论 髓芯减压 SDF-1 移植治疗股骨头缺血性坏死效果明显,具有较广的临床应用前景。

【关键词】 股骨头坏死,缺血性;基质细胞衍生因子-1;髓芯减压

中图分类号:R681.8 文献标志码:B 文章编号:1008-794X(2009)-04-0294-03

Treatment of femoral head necrosis with transplantation of stromal cell-derived factor-1: an experimental study MENG Wei, CAO Hai-li, BAI Bin, ZHENG Shang-fei, XU Wei. Department of Interventional Radiology, the Second Affiliated Hospital, Harbin Medical University, Harbin 150086, China

[Abstract] Objective To discuss the therapeutic mechanism and efficacy of stromal cell-derived factor-1 (SDF-1) in the treatment of femoral head necrosis. Methods Experimental models of hydrocortisone-induced femoral head necrosis were established in 30 Japanese rabbits, which were randomly and equally divided into three groups. Group A was regarded as control group, group B received marrow core decompression and saline injection treatment and group C underwent marrow core decompression and SDF-1 transplantation. Eight weeks after the procedure all the survival rabbits ($n = 27$) were sacrificed, and the specimens were sent for the measuring of bone mineral density and for histopathologic examination. Results Eight weeks after the treatment, the bone mineral density of rabbits in group C was significantly increased. Pathologically, in SDF-1 treated rabbits the amounts of the blood vessels and osteoblast cells were obviously increased while the empty bone lacunae were markedly decreased. Conclusion Transplantation of stromal cell-derived factor-1 together with marrow core decompression is very effective for the treatment of femoral head necrosis and this technique has showed a vast and bright prospect in clinical practice. (J Intervent Radiol, 2009, 18: 294-296)

[Key words] femoral head necrosis, avascular; stromal cell-derived factor-1; marrow core decompression

股骨头缺血性坏死 (avascular necrosis of the femur head, ANFH) 是临床常见骨病, 其病因和发病机制目前尚不完全清楚, 且缺乏理想的治疗方法。近年来, 大量细胞因子不断被认识及应用, 基质细胞衍生因子-1 (stromal cell-derived factor-1, SDF-1) 在骨髓造血刺激及血管新生方面的作用已被大量研究所证实。据此, 我们通过建立家兔股骨头坏死

模型, 应用细胞因子植入技术, 同介入相结合, 探索 SDF-1 注入治疗 ANFH 的可行性。

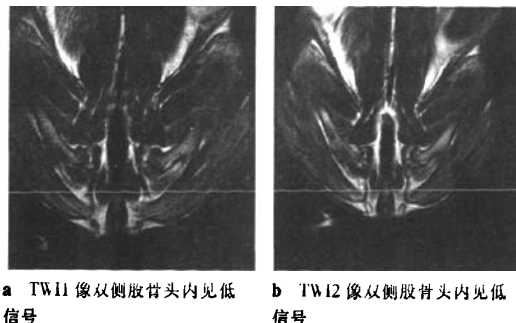
1 材料与方法

1.1 材料

1.1.1 动物模型建立与分组 选用 20~26 周龄纯种健康雄性日本大耳白兔 40 只, 体重 2.5 kg 左右, 由我院实验动物中心提供。造模动物每只每周 2 次臀肌注射氢化可的松, 7.5 mg/kg, 并每周 2 次臀肌注射青霉素 10 万 u/。于第 5~6 周停止注射 2 周,

基金项目: 黑龙江省科学自然基金会(D200560)
作者单位: 150086 哈尔滨医科大学附属第二院放射介入科
通信作者: 白 彬

共进行 10 周。模型建立后取动物 30 只(MR 证实, 图 1)。将实验模型动物随机分为 3 组每组 10 只, 饲养条件相同。A 组: 模型对照组; B 组: 髓心减压治疗组; C 组: 髓心减压 + SDF-1 注入组。



a T1WI 像从侧股骨头内见低信号 b T2WI 像从侧股骨头内见低信号

图 1 造模后 MRI 图象

1.1.2 药液制备 将 rhuSDF-1a (由 ProSpec-Tany TechnoGene 公司制造) 配成浓度为 1 ml 蒸馏水中含 rhuSDF-1a 10 μg 溶液后, 环氧乙烷消毒备用。

1.2 方法

1.2.1 实验方法 将 B、C 组动物固定于 DSA 手术床上, 经耳缘静脉麻醉后, 在兔双侧股骨头区域备皮, 局部消毒铺无菌单, 切开皮肤, 分离皮下组织暴露股骨干, 于大粗隆后用微型电钻转人 5 mm, 改用 20 ml 注射器针头在 DSA 透视下穿刺至股骨头下 1 mm 处, 内置明胶海绵条作为载体。C 组注入已备好的 rhuSDF-1a 溶液 1 ml, B 组注入同等量生理盐水, 所有动物再次用明胶海绵封闭穿刺口, 最后关闭切口逐层缝合。术后每只动物给予青霉素 20 万 u 预防感染。A 组未采取任何处理。B 组死亡 2 只, 其中 1 只术后第 3 天死于局部感染, 另 1 只死于麻醉过量。C 组死亡 1 只, 死于术后出血。8 周后将所有剩余兔处死(共计 27 只), 进行各种指标观察与检测。

1.2.2 观察指标

1.2.2.1 骨密度(bone mineral density, BMD)测定。 上述处理后 8 周, 采用兔耳缘静脉注入 20 ml 空气处死动物, 剖取实验侧股骨头, 置于单光子骨密度仪上, 测量位置为冠状面中部, 测 3 次取平均值。

1.2.2.2 组织学观察 切取实验侧股骨头, 沿中心冠状面剖开, 用 4% 甲醛液固定, 经脱钙后, 行剖面常规石蜡切片, HE 染色, 光镜观察。在 400 倍显微镜下, 任选 5 个高倍视野计数 50 个骨细胞计数空骨陷窝阳性率; 在软骨下区依次任选 5 个高倍视野, 计数血管数目, 求出平均值。

1.3 统计方法

各项参数均采用 $\bar{x} \pm s$ 表示, 用 SPSS 13.0 统计

软件进行数据处理, 采用单因素方差分析, 若各组间有差别, 进一步 Dunnett 方法作多个样本间均数两两比较。对两个样本均数的比较, 采用 *t* 检验, $P < 0.05$ 为差异有统计学意义。

2 结果

2.1 骨密度扫描

将股骨头置于单光子骨密度仪上, 测量位置为冠状面中部, 测 3 次取平均值。结果 A、B、C 3 组骨密度值为 (0.3276 ± 0.2950) 、 (0.3793 ± 0.1556) 和 $(0.4225 \pm 0.9570)\text{g/cm}^2$, B、C 组与 A 组比较差异有统计学意义 (P 均 < 0.01), C 组与 B 组间差异亦有统计学意义 ($P < 0.05$)。

2.2 光镜观察

2.2.1 A 组 术后 8 周, 病理上呈典型的骨坏死, 坏死区域位于股骨头近股骨颈的松质骨内, 交界处有大量间充质细胞增生, 髓腔中充满坏死的组织碎片, 骨小梁坏死、中断, 可见大量空缺骨陷窝, 残存骨细胞核固缩, 股骨头软骨下毛细血管明显减少。

2.2.2 B 组 骨小梁较稀疏, 排列较规则, 骨细胞部分正常, 毛细血管增多, 较多脂肪细胞, 有较多空骨陷窝。但骨小梁表面新生骨形成, 骨小梁增粗, 坏死断裂处逐渐融合, 空骨陷窝率减少, 与对照组比较差异有统计学意义 ($P < 0.01$)。

2.2.3 C 组 骨小梁较为饱满, 接近正常, 排列较规则, 骨细胞大部分正常, 造血细胞增多, 虽还有较多脂肪细胞, 但细胞直径接近正常细胞, 空骨陷窝明显减少, 接近正常, 股骨头软骨下血管数目明显增加(图 2)。与髓心减压组及空白对照组比较差异均有统计学意义 ($P < 0.05$)(表 1)。

表 1 各组实验动物股骨头光镜结果比较($\bar{x} \pm s$)

组别	空骨陷窝率	毛细血管数
对照组(A)	28.0 ± 1.5	5.2 ± 2.3
髓心减压组(B)	$18.0 \pm 2.0^*$	$6.2 \pm 1.8^*$
SDF-1a治疗组(C)	$15.0 \pm 1.7^{*,b}$	$7.8 \pm 1.5^{*,b}$

注:^{*} 为各组与对照组比较, $*P < 0.01$; ^b 为 SDF-1a 治疗组与髓心减压组比较, $^bP < 0.05$;

3 讨论

股骨头一旦坏死不易修复, 原因除其本身结构特殊外, 还与局部血液循环不良及多种骨生长因子缺乏或活性不足有关^[1]。迄今仍无普遍满意的方法治疗成人 ANFH。细胞生长因子能促进骨形成和血管再生, 因此有可能成为改善 ANFH 治疗效果的突破口^[2]。

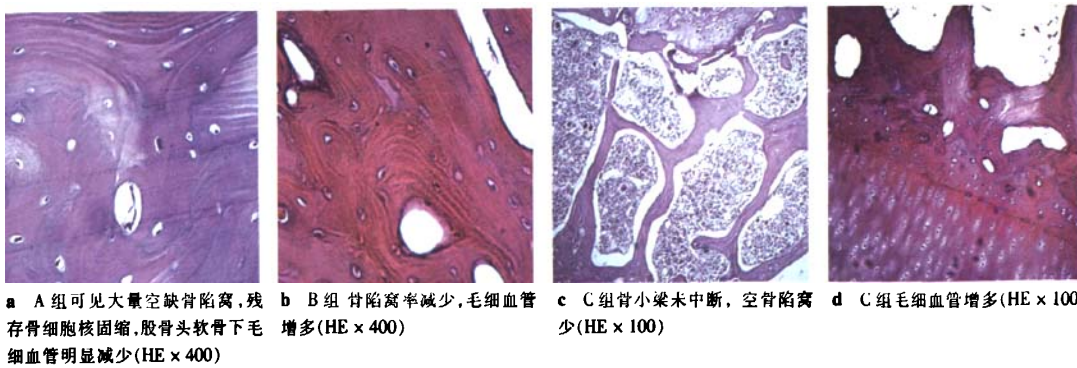


图2 各组组织学观察

SDF-1是新近发现的一类具有趋化活性的细胞因子,因其氨基酸序列含有4个保守的半胱氨酸及N端含有2个半胱氨酸,将其归为趋化因子CXC亚家族。SDF-1/CXCR-4轴能够促进血管生成,明显增加血管形成量^[3,6]。SDF-1还能募集各种祖细胞尤其是骨髓基质干细胞到血管损伤处。因此,我们采用SDF-1因子吸附于明胶海绵中,充填AFNH模型病灶清除区,观察其在股骨头局部病理环境中的诱导成血管及成骨活性。

本实验组织病理结果显示,SDF-1治疗组原股骨头坏死区的血管数在治疗后8周有明显的新生血管形成,较单纯减压组和空白对照组的成血管能力强。其作用机制可能为:①影响缺血损伤骨髓内造血干细胞的生成及其从肝向骨髓的迁移。②促进局部血管形成并募集各种祖细胞尤其是血管内皮祖细胞(EPC)到血管损伤处^[7,8]。通过动员自身或者借助外来骨髓多能干细胞,促进新血管生成。实验中治疗组原股骨头坏死区血管数较其他实验组明显增多,说明已有大量新生血管。我们推测SDF-1参与股骨头坏死区新血管生成、促进缺血区的血运重建,参与新生内膜形成^[9],也参与再内皮化过程^[4]。骨密度测量结果显示治疗组股骨头骨密度明显高于单纯减压组,且组织病理结果空骨陷窝数SDF-1治疗组明显少于单纯减压及空白对照组,说明SDF-1治疗组成骨活动和成骨能力大为增强。这可能与SDF-1募集各种祖细胞道损伤处其中包括骨髓多能干细胞,骨髓多能干细胞具有多向分化潜能,在特定的理化条件与细胞因子的诱导下,可定向地向成骨细胞方向分化,形成骨细胞。

综上,我们推测SDF-1参与股骨头坏死区新血管的生成,促进缺血区的血运重建,从而促进股骨头坏死区修复重建。说明髓芯减压加SDF-1因子,对股骨头坏死区有修复作用。为股骨头坏死治疗的

研究提供了新思路。

[参考文献]

- [1] 周强,石国华,杨柳,等.复合多孔生物材料在股骨头坏死模型中诱导成骨的观察[J].中华外科杂志,2002,40:458-461.
- [2] Mont MA, Jone SLC, Einhorn TA, et al. Osteonecrosis of the femoral head. Potential treatment with growth and differentiation factors[J]. Clin Orthop, 1998, (355)(suppl): 314-325.
- [3] Misra P, Lebeche D, Ly H, et al. Quantitation of CXCR4 expression in myocardial infarction using 99mTc-labeled SDF-1 alpha[J]. J Nucl Med, 2008, 49: 963-966.
- [4] Schober A, Knarren S, Lietz M, et al. Crucial role of stromal cell-derived factor-1alpha in neointima formation after vascular injury in apolipoprotein E-deficient mice[J]. Circulation, 2003, 108: 2491-2497.
- [5] Yamaguchi J, Kusano KF, Masuo O, et al. Stromal cell-derived factor-1 effects on ex vivo expanded endothelial progenitor cell recruitment for ischemic neovascularization [J]. Circulation, 2003, 107: 1322-1388.
- [6] Hiasa K, Ishibashi M, Ohtani K, et al. Gene transfer of stromal cell-derived factor-1 alpha enhances ischemic vasculogenesis and angiogenesis via vascular endothelial growth factor/endothelial nitric oxide synthase-related pathway [J]. Circulation, 2004, 109: 2454-2461.
- [7] Reddy K, Zhou Z, Jia SF, et al. Stromal cell-derived factor-1 stimulates vasculogenesis and enhances Ewing's sarcoma tumor growth in the absence of vascular endothelial growth factor [J]. Int J Cancer, 2008, 15: 123: 831-837.
- [8] Nomura S, Ishii K, Inami N, et al. Alpha 4-integrin-positive microvesicles and SDF-1 in peripheral blood stem cell harvest [J]. Bone Marrow Transplant, 2008, 41: 1071-1072.
- [9] Olive M, Mellad JA, Beltran LE, et al. p21Cip1 modulates arterial wound repair through the stromal cell-derived factor-1/CXCR4 axis in mice [J]. J Clin Invest, 2008, 118: 2050-2061.

(收稿日期:2008-11-11)

基质细胞衍生因子-1介入治疗股骨头坏死的实验研究

作者: 孟巍, 曹海利, 白彬, 郑尚飞, 徐伟
作者单位: 哈尔滨医科大学附属第二院放射介入科, 150086
刊名: 介入放射学杂志 **ISTIC PKU**
英文刊名: JOURNAL OF INTERVENTIONAL RADIOLOGY
年, 卷(期): 2009, 18(4)
被引用次数: 1次

参考文献(9条)

- 周强, 石国华, 杨柳, 等. 复合多孔生物材料在股骨头坏死模型中诱导成骨的观察[J]. 中华外科杂志, 2002, 40: 458-461.
- Mont MA, Jone SLC, Einhorn TA, et al. Osteonecrosis of the femoral head. Potential treatment with growth and differentiation factors[J]. Clin Orthop, 1998, (355) (suppl): 314-325.
- Misra P, Lebeche D, Ly H, et al. Quantitation of CXCR4 expression in myocardial infarction using ^{99m}Tc-labeled SDF-1alpha[J]. J Nucl Med, 2008, 49: 963-966.
- Schober A, Knarren S, Lietz M, et al. Crucial role of stromal cell-derived factor-1alpha in neointima formation after vascular injury in apolipoprotein E-deficient mice[J]. Circulation, 2003, 108: 2491-2497.
- Yamaguchi J, Kusano KF, Masuo O, et al. Stromal cell-derived factor-1 effects on ex vivo expanded endothelial progenitor cell recruitment for ischemic neovascularization[J]. Circulation, 2003, 107: 1322-1388.
- Hiasa K, Ishibashi M, Ohtani K, et al. Gene transfer of stromal cell-derived factor-1 alpha enhances ischemic vasculogenesis and angiogenesis via vascular endothelial growth factor/endothelial nitric oxide synthase-related pathway[J]. Circulation, 2004, 109: 2454-2461.
- Reddy K, Zhou Z, Jia SF, et al. Stromal cell-derived factor-1 stimulates vasculogenesis and enhances Ewing's sarcoma tumor growth in the absence of vascular endothelial growth factor[J]. Int J Cancer, 2008, 15, 123: 831-837.
- Nomura S, Ishii K, Inami N, et al. Alpha 4-integrin-positive microvesicles and SDF-1 in peripheral blood stem cell harvest[J]. Bone Marrow Transplant, 2008, 41: 1071-1072.
- Olive M, Mellad JA, Beltran LE, et al. p21Cip1 modulates arterial wound repair through the stromal cell-derived factor-1/CXCR4 axis in mice[J]. J Clin Invest, 2008, 118: 2050-2061.

引证文献(1条)

- 王树方, 刘培来, 李明, 张元凯, 李德强, 孙向阳, 王星, 李振中. 股骨头缺血性坏死的介入治疗 [期刊论文]-新医学 2010(5)